

การคาดการณ์พื้นที่เสี่ยงภัยแล้งรายสัปดาห์โดยใช้เทคนิคการสำรวจข้อมูลระยะไกลแบบอัตโนมัติ

The Automatic Assessment Weekly of Drought Risk Area with Remote Sensing Technique

ณภัสสรัตน์ ราชพิบูลย์¹

ศิริวรรณ วงศ์กุล¹

วรนุช จันทร์สุริย์²

¹มหาวิทยาลัยสงขลานครินทร์ วิทยาเขตสุราษฎร์ธานี

²สำนักงานพัฒนาเทคโนโลยีอวกาศและภูมิสารสนเทศ
(องค์การมหาชน)

Naphatsawat Rachpibool¹

Siriwan Wongkoon¹

Woranut Chansury²

¹Prince of Songkla University, Surat Thani Campus

²Geo-Informatics and Space Technology Development Agency (Public Organization)

บทคัดย่อ

การติดตามสถานการณ์ความแห้งแล้ง มีความสำคัญยิ่งสำหรับประเทศไทย เนื่องจากสภาพอากาศโลกร้อน ทำให้เกิดการเปลี่ยนแปลงสภาพอากาศ เกิดเป็นสภาพแห้งแล้ง มีผลกระทบต่อการเกษตรโดยเฉพาะในเรื่องของน้ำและการเพาะปลูกพืช ดังนั้นการคาดการณ์ที่ถูกต้องก่อนหน้าที่จะเกิดเหตุการณ์เพียงไม่กี่สัปดาห์ เป็นการเตรียมโอกาสที่มีคุณค่ายิ่งในการเฝ้าระวังสำหรับระบบการเตือนภัยและมีความจำเป็นในสถานการณ์ปัจจุบัน งานวิจัยนี้มีวัตถุประสงค์เพื่อพัฒนาแผนที่คาดการณ์พื้นที่เสี่ยงภัยแล้งในประเทศไทย ซึ่งนำเสนอวิธีการในการสร้างแบบจำลอง (Model) ทางคณิตศาสตร์เพื่อคาดการณ์พื้นที่เสี่ยงภัยแล้งรายสัปดาห์แบบอัตโนมัติ ผู้วิจัยใช้ข้อมูลรายสัปดาห์ของดัชนีความแตกต่างความชื้น (NDWI) และดัชนีความแตกต่างของพื้นผืนทราย (NDVI) จากดาวเทียม Terra/Aqua ระบบ MODIS ตั้งแต่ พ.ศ. 2556 – 2557 ใน การสร้างแบบจำลอง และใช้ข้อมูลตั้งแต่เดือน มกราคม – เมษายน พ.ศ. 2558 สำหรับทดสอบความถูกต้องของแบบจำลองทางคณิตศาสตร์ โดยทำการแบ่งพื้นที่ตามลักษณะการใช้ประโยชน์ที่ดิน (Land Use) และสุ่มจุด (Random Point) ด้วยโปรแกรมทางด้านภูมิสารสนเทศ คำนวณค่าสหสัมพันธ์แบบ Spearman และสร้างแบบจำลองแสดงความสัมพันธ์ระหว่าง NDVI และ NDWI ซึ่งใช้การวิเคราะห์การถดถอยแบบอนุกรมเวลา ผลการศึกษาพบว่า NDVI ของสัปดาห์ก่อนหน้า และสัปดาห์ปัจจุบัน เป็นปัจจัยสำคัญในการคาดการณ์ NDWI ใช้แบบจำลองที่ได้เพื่อสร้างแผนที่แบบอัตโนมัติ โดยใช้ภาษา Python แบบจำลองที่ได้แสดงให้เห็นถึงความสัมพันธ์ระหว่างค่าคาดการณ์ และค่าจริง 48.37% แบบจำลองที่ได้จากการศึกษานี้สามารถคาดการณ์พื้นที่เสี่ยงภัยแล้งในประเทศไทยได้ เป็นข้อมูลให้กับหน่วยงานที่เกี่ยวข้องและชุมชนนำไปใช้ประโยชน์ในสนับสนุนการตัดสินใจวางแผนป้องกันและลดความเสียหายที่จะเกิดขึ้นในพื้นที่ได้อย่างมีประสิทธิภาพ

คำสำคัญ: การคาดการณ์ ภัยแล้ง ดัชนีความแตกต่างความชื้น ดัชนีความแตกต่างของพื้นผืนทราย การสำรวจข้อมูลระยะไกล

ABSTRACT

Monitoring of drought situation in Thailand has very important because of the global warming in Thailand incurred to climate change and become to drought. The drought situation affecting agriculture, especially water and plants factors. Therefore, accurate predictions for even a few weeks, provide an invaluable opportunity to surveillance data for early warning system and has a necessary in the current situation. This research is to develop a model for assessment automatically drought risk area in Thailand. Data on weekly Normalized Difference Water Index (NDWI) and Normalized Difference Vegetation Index (NDVI) from Terra/Aqua satellite MODIS system over the period of 2013-2014 were used for the training data set. The forecasting accuracy of the model was verified using the data between January – April 2015. The NDWI data were divided using land used and random point with geo-informatics program. Spearman correlation analysis and time-series regression analysis were performed to quantify the relationship between NDVI and NDWI. The results showed that NDVI at a lag of zero and one months were significant predictors of NDWI. The predicted NDWI were used to create the automatic maps with Python programming. The model demonstrated goodness-of-fit with a correlation between observed and predicted NDWI of 48.37%. The model could be used to predict the drought risk area in Thailand. The information could be useful for the related organizations and communities

for planning and operational activities and better decision-making regarding drought risk area prevention and more efficiency for reducing the damage will be occurred in the area.

KEY WORDS: Assessment, Drought, NDWI, NDVI, Remote Sensing

1. ບໜໍາ

นับตั้งแต่ปี พ.ศ.2544 เป็นต้นมาหอการค้าและหน่วยงานต่างๆ ทั่วโลกที่ศึกษาด้านค่าว่า เกี่ยวกับสิ่งแวดล้อมโลก ไม่มีการนำเสนอผล การศึกษาให้ทั่วโลกได้รับรู้ถึงสภาพปัญหาของสิ่งแวดล้อมโลกตามที่ผู้ผลิตกระทำ ซึ่งเป็นไปในทิศทางเดียวกันว่าภาวะโลกร้อนกำลังคุกคาม สิ่งแวดล้อม และการดำเนินธุรกิจของมนุษย์ทั่วโลก (กอร์, 2549) โดยก่อให้เกิดภัยธรรมชาติ ซึ่งเป็นปรากฏการณ์รุนแรงที่เกิดขึ้นเองตาม ธรรมชาติ มีผลกระทบทำให้มนุษย์ไม่สามารถดำเนินธุรกิจได้ตามปกติสุข ก่อให้เกิดความเสียหายทั้งชีวิตและทรัพย์สินเป็นจำนวนมาก ภัยที่มี ความสำคัญไม่ยิ่งไปกว่าอุทกภัยน้ำท่วม ดื้อ ภัยแล้ง เป็นปรากฏการณ์ธรรมชาติที่ทำให้เกิดสภาวะขาดแคลนน้ำ ซึ่งส่งผลกระทบต่อมนุษย์ ทั้งทางและทาง济ั่อม โดยเฉพาะประเทศไทยที่ประชากรมีอาชีพเกษตรกรรมเป็นหลัก และเกษตรกรรมเน้นยังต้องพึ่งพาอาศัยฝนจากธรรมชาติ ภัยแล้งมีผลกระทบโดยตรงต่อการลดลงของผลผลิตทางการเกษตร และยังมีผลต่อการสูญเสียงบประมาณของประเทศไทยในการบรรเทาความ เดือดร้อนในพื้นที่ที่ประสบภัยแล้ง (สรพันธ์, 2548)

สำหรับประเทศไทยผู้ที่ได้รับผลกระทบจากภัยแล้งโดยตรง คือ ชาวนาและเกษตรกรที่เคยเพาะปลูกพืช ถูกแล้ง จำนวน 398,347 ราย พื้นที่ 11.97 ล้านไร่ แบ่งเป็น ในเขตลุ่มน้ำเจ้าพระยา 345,161 ราย พื้นที่ 10.70 ล้านไร่ และในเขตลุ่มน้ำแม่กลอง 53,186 ราย พื้นที่ 1.27 ล้านไร่ ซึ่งจากการประเมินจนถึงขณะนี้คิดเป็นมูลค่าความเสียหายแล้วว่า 5,600 ล้านบาท และชาวนาผู้ปลูกข้าวอาจสูญเสียรวมกว่า 14,000 ล้านบาท เมื่อสิ้นฤดูกาลร้อน นับเป็นมูลค่าความเสียหายมากที่สุดในค่าเฉลี่ยรอบ 5 ปีที่อยู่ที่ราว 11,900 ล้านบาท โดยสถานการณ์นี้ จะยังคงเป็นการชุดกำลังซึ่งภาคครัวเรือนในชนบท และส่งผลต่อเนื่องไปยังธุรกิจเกี่ยวเนื่อง ซึ่งเติมภาวะยากลำบากอยู่แล้วให้แย่ลงไปอีก ใหญ่เรื่องน้ำหาภัยแล้งกินเวลาอย่างนานกว่าที่คาดการณ์ไว้ (ดิตารัตน์, 2558)

ปัจจุบันเป็นยุคข้อมูลข่าวสาร (Information Technology) ความก้าวหน้าทางด้านเทคโนโลยีมีส่วนสำคัญต่อการจัดการภัยพิบัติทางธรรมชาติ ภูมิสารสนเทศ (Geo informatics) ซึ่งประกอบด้วย ระบบสารสนเทศทางภูมิศาสตร์ (Geographic Information System: GIS) การรับรู้ระยะไกล (Remote Sensing: RS) และระบบกำหนดตำแหน่งบนพื้นโลก (Global Navigation Satellite System: GNSS) หรือเรียกว่า กันว่า เทคโนโลยี 3S จัดเป็นเทคโนโลยีที่ทันสมัยสามารถจัดการข้อมูลเชิงพื้นที่ได้อย่างมีประสิทธิภาพ โดยเฉพาะอย่างยิ่งข้อมูลทางด้านลักษณะดิน แหล่งน้ำ และทรัพยากรธรรมชาติรวมทั้งภัยพิบัติทางธรรมชาติ ซึ่งสามารถทำได้สะดวกรวดเร็ว ทันต่อสถานการณ์การเปลี่ยนแปลงของลักษณะดิน แหล่งน้ำ และภัยพิบัติที่เกิดขึ้น ทั้งยังสามารถใช้ในการวางแผนจัดการป้องกันผลเสียหายที่เกิดจากภัยพิบัติทางธรรมชาติได้อย่างมีประสิทธิภาพและสิ่งแวดล้อม ไม่ว่าจะในเชิงปรัชญา นักวิเคราะห์ (Analysis) และแสดงผล (Display) ข้อมูลเชิงพื้นที่ได้อย่างดี ทั้งนี้มีการนำ GIS มาประยุกต์ใช้ในหลากหลายสาขาวิชาร่วมถึงด้านภัยพิบัติทางธรรมชาติที่ช่วยในการวางแผนป้องกัน แก้ไขได้ทันสถานการณ์ และยังสามารถใช้งานร่วมกับเทคโนโลยีด้านการสำรวจข้อมูลระยะไกล (Remote Sensing : RS) ได้อย่างมีประสิทธิภาพ ซึ่ง RS เป็นเทคนิคในการบันทึก (Recording) การสังเกต (Observing) และการรับรู้ (Sensing) เกี่ยวกับวัตถุ พื้นที่ หรือปรากฏการณ์ที่ห่างไกล (Remote) โดยไม่ได้เข้าไปสัมผัสกับวัตถุเป้าหมาย เช่น ภาพถ่ายทางอากาศ ภาพถ่ายดาวเทียม เป็นต้น และองค์ประกอบสุดท้ายของเทคโนโลยี 3S ก็คือ GNSS (Global Navigation Satellite System) เป็นระบบที่ใช้บอกตำแหน่งบนพื้นโลก ในปัจจุบันมีหลายระบบให้เลือกใช้งาน เช่น GPS ซึ่งเต็มคือ Global Positioning System เป็นของสหรัฐอเมริกา ประกอบด้วย ส่วนสำคัญหลายส่วน ได้แก่ ดาวเทียม 32 ดวง สถานีควบคุม และผู้ให้บริการจากนี้ยังมี GLONASS คือ Global Navigation Satellite System ซึ่งเป็นระบบของประเทศไทย ใช้ดาวเทียม 30 ดวง เพื่อระบุตำแหน่งบนพื้นโลก GNSS นี้มีความสำคัญในการเก็บข้อมูลภาคสนามทั้งยังเป็นอุปกรณ์สำคัญที่ใช้ร่วมกับ GIS

เทคโนโลยีการสำรวจข้อมูลระยะไกล ใช้ข้อมูลจากภาพถ่ายดาวเทียมซึ่งเป็นข้อมูลที่มีความต่อเนื่องทั้งเวลา และเชิงพื้นที่ เมื่อจากมีการบันทึกภาพซ้ำเป็นช่วงเวลาทำให้ได้ข้อมูลที่มีความต่อเนื่อง มีการบันทึกภาพเป็นบริเวณกว้าง ข้อมูลจะมีความครอบคลุมต่อพื้นที่ทั้งหมด (Gu, Brown, Verdin, & Wardlow, 2007) นอกจากนี้ยังมีข้อมูลหลายช่วงคลื่น ซึ่งตอบสนองต่อสิ่งที่ปั่นออกถึงความแห้งแล้งได้ เช่น พืชพรรณ ค่าคลอโรฟิลล์ในพืชพรรณ ปริมาณน้ำในพืช และดิน ที่สามารถเลือกใช้ให้ตรงกับความต้องการเพื่อแก้ไขปัญหาข้อมูลที่ขัดข้องจากสถานีตรวจจารุการตัดคุณสมบัติของข้อมูลการสำรวจระยะไกลที่กล่าวมาล้วนมีความเหมาะสมสำหรับการติดตาม เตือนภัย และคาดการณ์ความแห้งแล้งที่เกิดขึ้นกับพื้นที่เดียวกันๆ ตลอดช่วงเวลาที่เกิดความแห้งแล้งบริเวณน้ำในดินจะลดต่ำลง และมีการเพิ่มขึ้นของอุณหภูมิในพืชอย่างมีความหมาย (Shakya & Yamaguchi, 2007) รวมถึงความเปลี่ยนแปลงอื่นของสภาพพืชพรรณซึ่งสามารถใช้เป็นหลักในการบ่งชี้ความแห้งแล้งได้ การตรวจสอบความแห้งแล้งมีการนำวิธีการที่แตกต่างกันหลายวิธีมาใช้ในวิเคราะห์ โดยเฉพาะการใช้ดัชนีที่แสดงถึงการปรากម្មอยู่ของพืชพรรณ ดัชนีเหล่านี้มีคุณสมบัติแตกต่างกันออกไป สามารถนำมาใช้อธิบายสภาพปัจจุบันของพื้นที่ ลักษณะการกระจายตัวและความเปลี่ยนแปลงของพืชพรรณได้ดีกว่าตัวแปรด้านภูมิศาสตร์ (Kogan, 1995) ดัชนีที่มีการใช้กันอย่างแพร่หลายเพื่อบ่งชี้

สภาวะความแห้งแล้งได้แก่ ดัชนีความแตกต่างของพืชพรรณ (The Normalized Difference Vegetation Index: NDVI) และดัชนีความแตกต่างความชื้น (The Normalized Difference Water Index: NDWI) เป็นต้น

ดังนั้นจากปัญหาภัยแล้งที่ส่งผลกระทบต่อการเกษตรในปัจจุบันทั้งปัญหาการขาดแคลนน้ำและการเพาะปลูกพืช ประกอบด้วย ความก้าวหน้าทางด้านเทคโนโลยีที่มีประสิทธิภาพในการวิเคราะห์และแสดงผล เพื่อการจัดการภัยพิบัติ จึงเป็นส่วนสำคัญอย่างยิ่งทั้งการเฝ้าระวัง และเตือนภัยทางด้านภัยแล้ง โดยเฉพาะการรับข้อมูลล่วงหน้า ซึ่งจะเป็นข้อมูลที่มีคุณค่าสำหรับเกษตรกร ผู้ที่สนใจ และหน่วยงานที่เกี่ยวข้องได้เป็นอย่างดี โดยการศึกษาครั้งนี้จึงมีวัตถุประสงค์เพื่อพัฒนาแบบจำลองคาดการณ์พื้นที่เสี่ยงภัยแล้งในประเทศไทย โดยใช้ข้อมูลดังนี้ความแตกต่างของพืชพรรณ และดัชนีความแตกต่างความชื้น สะสมราย 7 วัน จากดาวเทียม Terra/Aqua ระบบ MODIS ในปี 2556 - 2557 เป็นข้อมูลสำหรับสร้างแบบจำลอง และข้อมูลปี 2558 สำหรับทดสอบความถูกต้องของแบบจำลองทางคณิตศาสตร์ โดยสร้างสมการทางคณิตศาสตร์ในการคาดการณ์ภัยแล้ง และสร้างแผนที่แบบอัตโนมัติโดยใช้ภาษา Python ในการจัดการข้อมูล ซึ่งผลที่ได้จะเป็นประโยชน์ต่อเกษตรกร อีกทั้งหน่วยงานที่เกี่ยวข้องสามารถดำเนินการวางแผนเฝ้าระวัง และเตือนภัยการเกิดภัยแล้งได้ดียิ่งขึ้น โดยเฉพาะอย่างยิ่งในพื้นที่ที่มีความเสี่ยงต่อภัยแล้งสูง

2. ວັດຖຸປະສົງຄໍ

- 1) ศึกษาข้อมูลดังนี้ความแตกต่างความซึ้งเพื่อสนับสนุนการตัดสินใจเลือกแนวทางที่เหมาะสมในพัฒนาแพนที่คาดการณ์พื้นที่เสี่ยงภัยแล้งรายสัปดาห์แบบอัตโนมัติ
 - 2) เพื่อพัฒนาแพนที่คาดการณ์พื้นที่เสี่ยงภัยแล้งรายสัปดาห์แบบอัตโนมัติโดยใช้ภาษา Python ในการจัดการข้อมูล

3. วิธีการวิจัย

3.1 พื้นที่ศึกษา



รูปที่ 1 พื้นที่ศึกษาประเทศไทย

3.2 ข้อมูลที่ใช้ในการศึกษา

ได้มีการเสนอต้นนี้ความแตกต่างความชื้น เพื่อตรวจสอบด้วยข้อมูลการสำรวจระยะไกลโดยใช้สมการ (1) ซึ่งช่วงค่าล้วน 0.86 ถึง 1.24 ในโครงสร้าง มีผลลัพธ์จากการสำรวจด้วยดาวเทียมในชั้นบรรยากาศต่ำ ทำให้ NDWI ไว้ต่อละของลอยในชั้นบรรยากาศน้อยกว่า NDVI ผลลัพธ์พบว่า NDWI ไว้ต่อการตอบสนองต่อการเปลี่ยนแปลงปริมาณน้ำในเรือนยอดพืช (Gao, 1996)

$$(p_{0.86} - p_{1.24}) / (p_{0.86} + p_{1.24}) \quad (1)$$

นอกจากนี้ยังได้มีการศึกษาคุณสมบัติทั้งด้านค่าล้วนและลักษณะทางกายภาพของพืชในดัชนีพืชพรรณ 2 ดัชนี คือ NDVI และ EVI ที่ได้จากดาวเทียม Terra ระบบ MODIS ที่ความแยกชัด 500 และ 1000 เมตร เปรียบเทียบกับดัชนีที่ได้จากดาวเทียม NOAA-AVHRR (The Advanced Very High Resolution Radiometer) ที่ความแยกชัด 1000 เมตร พบว่าดัชนีที่ได้จาก MODIS มีความแม่นยำสูงกว่า และพบว่า NDVI มีความอิ่มตัวที่ไม่สิ้นสุด (Asymptotically Saturate) ในพื้นที่ที่มีชีวมวลสูง ขณะที่ EVI ไว้ต่อความแตกต่างของชั้นเรือนยอด (Huete et al., 2002) และศึกษาการประเมินปริมาณน้ำในพืช (ช้าวโพดและถั่วเหลือง) โดยใช้ช่วงคลื่น NIR และ SWIR จากดาวเทียม Terra-MODIS โดยใช้ข้อมูลในช่วงคลื่นที่เป็นไปได้ 7 ช่วงคลื่นสำหรับการรับรังสีชนิดพืชพรรณจาก MODIS Band 1-7 (ค่าการสะท้อนที่ 0.648, 0.858, 0.470, 0.555, 1.24, 1.64 และ 2.13 ในโครงสร้าง ตามลำดับ) และประเมินแต่ละดัชนีโดยคำนวณความสัมพันธ์กับปริมาณน้ำในพืช (Vegetation Water Content: VWC) พบว่าดัชนี NDVI และดัชนี NDWI เป็นตัวเลือกที่ดีที่สุด (Chen, Huang, and Jackson, 2005)

โดยการศึกษาวิจัยทางด้านความแห้งแล้ง ได้มีการศึกษาการประเมินความแห้งแล้งโดยการวิเคราะห์สถานะทางกายภาพของพืชที่มีผลมาจากสภาวะแห้งแล้งในพื้นที่ป่าสักชัยขอบเขตทรัพยากริมแม่น้ำเจ้าพระยาในประเทศไทย โดยใช้ดัชนีพืชพรรณ NDVI ตรวจวัดสภาวะความเครียดของพืช และประยุกต์การตรวจวัดความเปลี่ยนแปลงระหว่างฤดูกาลและระหว่างปี ในพืชพรรณด้วยเทคนิคผลต่างภาพ (Image Differencing Technique) สำหรับดัชนี NDVI จากการศึกษาพบความสอดคล้องระหว่างกิจกรรมการสังเคราะห์แสงและกับผลวัดของค่า NDVI ตลอดฤดูกาลเจริญเติบโต (Volcani et al., 2005) ในปีต่อๆ มา มีการทำการประมาณการแห้งแล้งของทุ่งหญ้าใน Central Great Plains ประเทศไทย โดยใช้การวิเคราะห์ข้อมูล 5 ปีของ NDVI และ NDWI ที่ได้จากข้อมูลจากดาวเทียมระบบ MODIS ได้ผลลัพธ์ที่แสดงถึงความสัมพันธ์ระหว่าง NDVI, NDWI และสภาวะความแห้งแล้ง และได้เสนอดัชนี NDDI (Normalized Different Drought Index) ที่พบว่า มีการตอบสนองต่อความแห้งแล้งในฤดูร้อนได้ดีกว่าค่าความแตกต่างทั่วไประหว่าง NDVI กับ NDWI และยังเป็นตัวชี้วัดความแห้งแล้งในทุ่งหญ้าได้ดีกว่าดัชนี NDVI เพียงอย่างเดียว (Gu et al., 2007)

จากการศึกษาข้อมูลสรุปได้ว่า ข้อมูลดัชนีความแตกต่างความชื้น คือข้อมูลเพื่อแสดงปริมาณน้ำในพืชและในดิน โดยสร้างจากสัดส่วนความต่างของช่วงคลื่นอินฟราเรดใกล้ (Near Infrared: NIR) และอินฟราเรดกลาง (short wave infrared: SWIR) ที่ตอบสนองต่อปริมาณน้ำในพืชและความชื้นของดิน ซึ่งสามารถบ่งชี้ถึงความชื้นหรือแห้งแล้งของพื้นที่ได้ และข้อมูลดัชนีความแตกต่างของพืชพรรณ แสดงถึงความสมบูรณ์และความเขียวของพืชพรรณ โดยการหาอัตราส่วนความต่างระหว่างช่วงคลื่นสีแดง (Red) และอินฟราเรดใกล้ (Near Infrared: NIR)

ตารางที่ 1 สมการดัชนีความแตกต่างความชื้นและความแตกต่างของพืชพรรณ

ดัชนี	สมการ	แหล่งอ้างอิง
1. ดัชนีความแตกต่างความชื้น	$NDWI = (NIR - SWIR) / (NIR + SWIR)$	Chen et al., 2005 Gu et al., 2007 Volcani et al., 2005 Shakya&Yamaguchi, 2007
2. ดัชนีความแตกต่างของพืชพรรณ	$NDVI = (NIR - Red) / (NIR + Red)$	Chen et al., 2005 Gao, 1996 Gu et al., 2007

การศึกษาวิจัยครั้งนี้จึงใช้ข้อมูลดัชนีความแตกต่างความชื้น และข้อมูลดัชนีความแตกต่างของพืชพรรณ จากดาวเทียม Terra/Aqua ระบบ MODIS สะสมราย 7 วัน ที่ได้ทำการวิเคราะห์และประเมินผลจากข้อมูลรายวัน โดยสำนักงานพัฒนาเทคโนโลยีอวกาศและภูมิสารสนเทศ (องค์การมหาชน) (สหอภ.) เนื่องจากข้อมูลรายวันในบางพื้นที่ถูกบดบังด้วยคลื่นเมฆจึงทำให้ไม่สามารถวัดค่า NDWI และ NDVI ได้ ข้อมูลในบริเวณนั้นจึงเกิดการขาดหายไป สหอภ. จึงวิเคราะห์และประเมินทั้งข้อมูลรายวัน และสะสมราย 7 วัน เพื่อให้สามารถนำไปประยุกต์ต่อยอดในการกิจที่เกี่ยวข้อง เกิดประโยชน์ต่อสังคมโดยรวมของประเทศไทย ซึ่งประโยชน์ในการติดตามสถานการณ์ต่างๆ เนื่องจากภาพถ่ายดาวเทียมระบบ MODIS มีแบบการถ่ายภาพที่กว้างครอบคลุมทั่วประเทศได้ในกรอบเวลาเพียงครั้งเดียว รวมทั้งมีจำนวนแบบถ่ายภาพจำนวนมากทำให้สามารถวิเคราะห์ได้หลายรูปแบบ โดยมีรายละเอียดข้อมูล 250 – 1,000 เมตร

3.3 คัดเลือกข้อมูลเพื่อใช้ในการสร้างแบบจำลอง

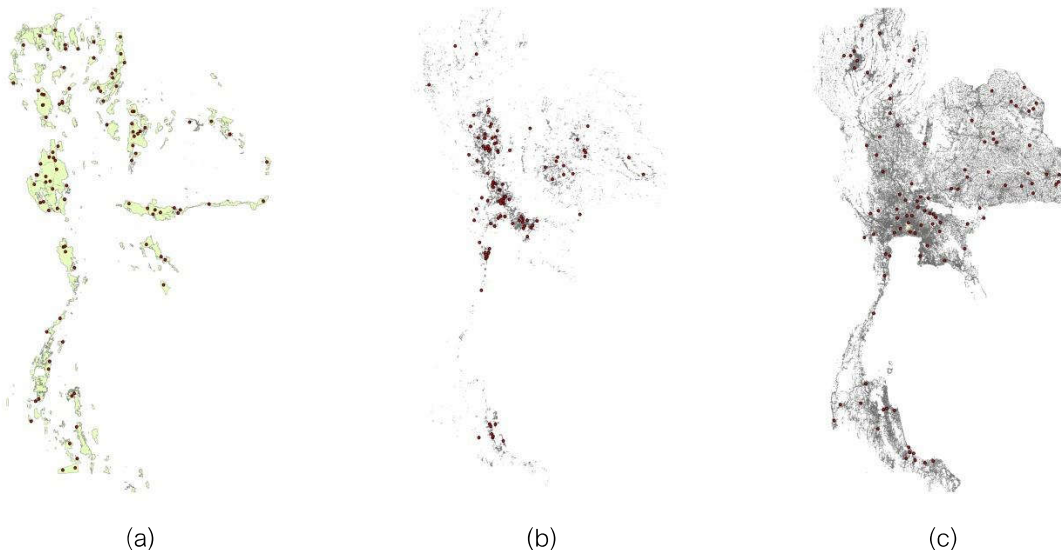
การศึกษาครั้งนี้ ผู้วิจัยเลือกใช้ข้อมูล NDWI และ NDVI สะสมราย 7 วัน ระหว่างเดือนมกราคม – เดือนเมษายน พ.ศ. 2556 – 2558 ซึ่งเป็นข้อมูลจากสำนักงานพัฒนาเทคโนโลยีวิชาการและภูมิสารสนเทศ (องค์กรมหาชน) โดยการสร้างสมการทางคณิตศาสตร์เพื่อพัฒนาแบบจำลองคาดการณ์พื้นที่เสี่ยงภัยแล้งรายสัปดาห์ แบ่งข้อมูลเป็น 2 ชุด คือ ข้อมูลในปี 2556 – 2557 เป็นข้อมูลสำหรับสร้างแบบจำลอง และข้อมูลในปี 2558 เป็นข้อมูลสำหรับทดสอบประสิทธิภาพและความถูกต้องของแบบจำลองทางคณิตศาสตร์

3.4 แบ่งพื้นที่ตามลักษณะการใช้ประโยชน์ที่ดินเพื่อเปรียบเทียบความแตกต่างของค่า NDWI ในแต่ละพื้นที่

หลังจากการรวมข้อมูลแล้ว ผู้วิจัยทำการแบ่งพื้นที่ศึกษาตามลักษณะการใช้ประโยชน์ที่ดิน (Land Use) เป็น 3 ลักษณะ คือ พื้นที่ป่า พื้นที่เมือง และพื้นที่ปลูกข้าว ใน การแบ่งพื้นที่ตามลักษณะการใช้ประโยชน์ที่ดินเพื่อเปรียบเทียบความแตกต่างของค่า NDWI ในแต่ละลักษณะการใช้ประโยชน์ที่ดิน เพื่อคัดเลือกพื้นที่ที่มีค่า NDWI ที่เหมาะสม สำหรับสร้างแบบจำลองได้อย่างมีประสิทธิภาพ โดยใช้ข้อมูล Shape File ที่จัดทำโดยสำนักงานพัฒนาเทคโนโลยีวิชาการและภูมิสารสนเทศ (องค์กรมหาชน)

3.5 สุมจุดเพื่อกีบค่า NDWI และ NDVI ในแต่ละสี่ปีตามลักษณะการใช้ประโยชน์ที่ดิน

ก่อนนำเข้าข้อมูล NDWI เพื่อสร้างแบบจำลอง ผู้วิจัยทำการสุมจุด (Random Point) 100 จุด ด้วยโปรแกรมทางด้านภูมิสารสนเทศ เพื่อกีบค่า NDWI และ NDVI ในแต่ละสัปดาห์ตามลักษณะการใช้ประโยชน์ที่ดินละ เนื่องจากข้อมูล NDWI และ NDVI เป็นข้อมูล raster (Raster Data) จัดเก็บข้อมูลเป็นลักษณะตารางสี่เหลี่ยมจตุรัสเล็กๆ (Grid or Pixel) เทากันและต่อเนื่องกัน มีค่าพิกัดทางภูมิศาสตร์และข้อมูลในทุกๆ ตาราง ดังนั้นจึงต้องทำการสุมจุดเพื่อนำค่า NDWI และ NDVI มาใช้ในการวิเคราะห์ได้เรียบง่ายขึ้น (รูปที่ 2)



รูปที่ 2 การสุมจุด 100 จุดตามพื้นที่การใช้ประโยชน์ที่ดิน (a) พื้นที่ป่า (b) พื้นที่ปลูกข้าว (c) พื้นที่เมือง

3.6 กีบค่า NDWI และ NDVI เพื่อสร้างสมการและการเปรียบความแตกต่างของค่า NDWI

ทำการเก็บข้อมูล NDWI และ NDVI สะสมราย 7 วัน ระหว่างเดือนมกราคม – เดือนเมษายน ในปี 2555 – 2557 เพื่อสร้างแบบจำลอง และปี 2558 เพื่อทดสอบประสิทธิภาพและความถูกต้องของแบบจำลองทางคณิตศาสตร์ ด้วยโปรแกรมทางด้านภูมิสารสนเทศโดยใช้เครื่องมือ (Tool) Sample และใช้ค่า NDWI สร้างกราฟเพื่อเปรียบเทียบความแตกต่างของแต่ละพื้นที่ตามลักษณะการใช้ประโยชน์ที่ดิน โดยค่า NDWI ที่ใช้สำหรับสร้างกราฟเพื่อเปรียบความแตกต่างในแต่ละพื้นที่ ทำการหาค่าเฉลี่ยในแต่ละสี่ปี ซึ่งจะทำให้ได้ค่าเฉลี่ย NDWI ทั้งหมด 32 ค่า ในแต่ละพื้นที่ เพื่อใช้ในการสร้างกราฟ สร้างสมการทางคณิตศาสตร์จะใช้ค่าข้อมูลจริงที่เก็บได้ทั้งหมดซึ่งคัดเลือกจากพื้นที่ที่มีความเหมาะสมจากผลของการสร้างกราฟ ซึ่งจะทำให้ได้ค่า NDWI และ NDVI อย่างละ 2,600 ค่า สำหรับสร้างสมการ

3.7 สร้างสมการทางคณิตศาสตร์เพื่อเข้าสร้างแผนที่คาดการณ์พื้นที่เสี่ยงภัยแล้งรายสัปดาห์

ข้อมูลทั้งหมดถูกนำมาสร้างสมการทางคณิตศาสตร์ เพื่อคาดการณ์การเกิดภัยแล้งด้วยค่า NDWI และ NDVI โดยเลือกพื้นที่ตามลักษณะการใช้ประโยชน์ที่ดินที่เหมาะสมจากการสำรวจกราฟ เพื่อใช้ค่าในพื้นที่ดังกล่าวสร้างสมการ โดยกำหนดให้ ค่า NDWI ที่ตัวแรกตาม และ ค่า NDVI เป็นตัวแปรอิสระ เนื่องจากการศึกษาในครั้งนี้ใช้ค่า NDWI เป็นค่าที่บ่งชี้ถึงระดับความแห้งแล้งในพื้นที่

3.8 สร้างแผนที่คาดการณ์พื้นที่เสี่ยงภัยแล้งรายสัปดาห์และใช้ภาษา Python ในการจัดการข้อมูลแบบอัตโนมัติ

เมื่อได้สมการทางคณิตศาสตร์ที่เหมาะสมเพื่อคาดการณ์พื้นที่เสี่ยงภัยแล้งรายสัปดาห์แล้ว นำสมการมาทำการสร้างแผนที่คาดการณ์พื้นที่เสี่ยงภัยแล้งรายสัปดาห์ในประเทศไทยด้วยโปรแกรมทางด้านภูมิสารสนเทศ จากนั้นเขียนโปรแกรมด้วยภาษา Python เพื่อใช้ในการจัดการข้อมูลในส่วนของการนำเข้าข้อมูล NDVI และ NDWI ตามสมการ เพื่อคำนวนผล และจัดเก็บข้อมูลแบบอัตโนมัติ ส่งผลให้สามารถคาดการณ์พื้นที่เสี่ยงภัยแล้งรายสัปดาห์แบบอัตโนมัติได้เมื่อข้อมูลมีการเปลี่ยนแปลงไปในทุกๆ 7 วัน

4. ผลการวิจัย

ในการศึกษานี้ได้ทำการสร้างกราฟเพื่อศึกษาแนวโน้มและเปรียบเทียบความแตกต่างของข้อมูล NDWI ที่เก็บค่าได้จากการสำรวจสู่มุด 100 จุด และหาค่าเฉลี่ยในแต่ละสัปดาห์ ตั้งแต่เดือนมกราคม – เดือนเมษายน ในปี 2556 – 2557 ตามลักษณะการใช้ประโยชน์ที่ดินซึ่งแยกเป็น 3 พื้นที่ ได้แก่ พื้นที่ป่า พื้นที่ป่าข้าว และพื้นที่เมือง

จากผลการสร้างกราฟเพื่อศึกษาแนวโน้มและเปรียบเทียบข้อมูล NDWI ราย 7 วัน ทั้ง 3 พื้นที่ พบว่าในแต่ละพื้นที่มีแนวโน้มของข้อมูลไปในทางเดียวกัน (รูปที่ 3) ผู้จัดจึงเลือกพื้นที่ป่า ใช้ในการสร้างสมการเพื่อสร้างเป็นแผนที่คาดการณ์พื้นที่เสี่ยงภัยแล้งรายสัปดาห์ เนื่องจากพื้นที่ป่าเป็นพื้นที่ที่มีพืชพรรณปกคลุม จะทำให้ได้ค่า NDWI และ NDVI ที่แท้จริงซึ่งเป็นประโยชน์ต่อการนำข้อมูลที่ได้ไปใช้ในการสร้างสมการ โดยใช้ค่า NDWI และ NDVI สร้างสมการ เพื่อหาค่า NDWI สำหรับใช้คาดการณ์พื้นที่เสี่ยงภัยแล้งเนื่องจากการศึกษาในครั้งนี้ใช้ค่า NDWI เป็นค่าบ่งชี้ถึงระดับความแห้งแล้งในพื้นที่ เนื่องจาก NDWI เป็นดัชนีที่ใช้ในการตรวจสอบระดับความชื้นในดินหรือพืชพรรณ หากมีค่าสูงคือมีความชื้นมาก และหากมีค่าต่ำ คือมีความชื้นน้อย



รูปที่ 3 ข้อมูลค่าเฉลี่ย NDWI ราย 7 วัน เพื่อเปรียบเทียบความแตกต่างในพื้นที่ป่าข้าว พื้นที่ป่า และพื้นที่เมือง
เดือนมกราคม – เดือนเมษายน ปี 2556-2557

สำหรับการสร้างสมการเพื่อคาดการณ์พื้นที่เสี่ยงภัยแล้ง ใช้สมการถดถอยแบบอนุกรมเวลา (Time series Regression model) เนื่องจากค่า NDWI และ NDVI ซึ่งเป็นตัวแปรที่นำมาใช้ในการศึกษาครั้งนี้มีความสัมพันธ์และแปรผันตรงกัน โดยตัวแปรตามที่ใช้คาดการณ์คือ ค่า NDWI และตัวแปรอิสระที่มีอิทธิพลทำให้ตัวแปรตามเปลี่ยนค่าไป คือ ค่า NDVI และ NDWI ราย 7 วัน

ผลการสร้างสมการถดถอยแบบอนุกรมเวลา โดยใช้ค่า NDWI และ NDVI ราย 7 วัน ตั้งแต่เดือนมกราคม – เดือนเมษายน ในปี 2556 – 2557 เป็นข้อมูลสร้างสมการ (Training Data) และข้อมูลในปี 2558 เป็นข้อมูลทดสอบสมการ (Testing Data) ได้สมการ (2) ซึ่งมีค่าสัมประสิทธิ์สหสัมพันธ์ (Correlation coefficient) ระหว่างค่าคาดการณ์และค่าจริง เท่ากับ 0.4837

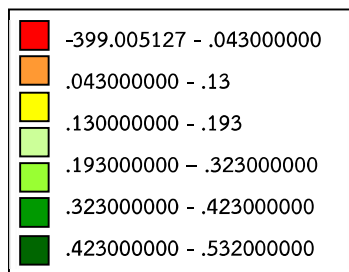
$$\ln(\text{NDWI}_t) = -1.88 + 2.06 \text{NDVI}_t - 0.64 \text{NDVI}_{t-1} + 0.36 \text{NDWI}_{t-1} \quad (2)$$

โดยที่

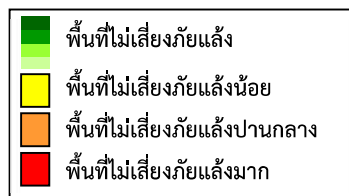
NDWI_t : ค่า NDWI ณ เวลา t

NDVI_t : ค่า NDVI ณ เวลา t

จากการสร้างสมการ เมื่อนำไปใช้ในการสร้างแผนที่คาดการณ์พื้นที่เสี่ยงภัยแล้งด้วยโปรแกรมทางด้านภูมิสารสนเทศ ทำให้ได้ค่า NDWI เพื่อคาดการณ์พื้นที่เสี่ยงภัยแล้งรายสัปดาห์ ผู้วิจัยได้ทำการจัดกลุ่ม (Classified) โดยอ้างอิงการแบ่งชั้น (Class) ของค่า NDWI ตามการจัดทำแผนที่ข้อมูลดังนี้ความแตกต่างความชื้น จากสำนักงานพัฒนาเทคโนโลยีอวกาศและภูมิสารสนเทศ (องค์กรมหาชน) (รูปที่ 4) และแบ่งระดับพื้นที่เสี่ยงภัยแล้งเป็น 4 ระดับ ได้แก่ พื้นที่ไม่เสี่ยงภัยแล้ง พื้นที่เสี่ยงภัยแล้งน้อย พื้นที่เสี่ยงภัยแล้งปานกลาง และพื้นที่เสี่ยงภัยแล้งมาก (รูปที่ 5)



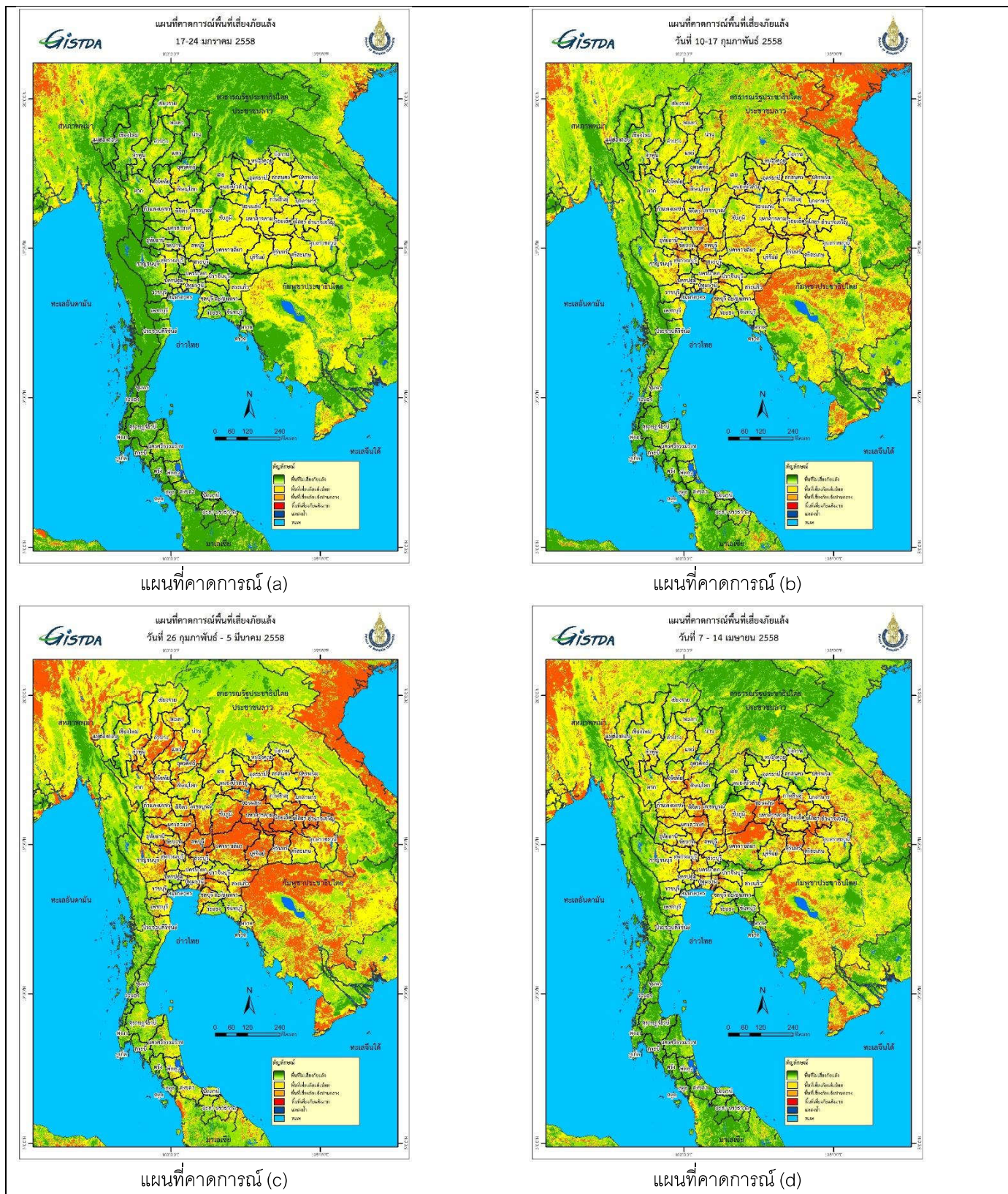
รูปที่ 4 การแบ่งชั้น (Class) ของค่า NDWI ที่คาดการณ์ได้



รูปที่ 5 การแบ่งระดับพื้นที่เสี่ยงภัยแล้ง

เมื่อทำการจัดกลุ่มและแบ่งชั้นของค่า NDWI ผู้วิจัยได้ทำการสร้างแผนที่คาดการณ์พื้นที่เสี่ยงภัยแล้งรายสัปดาห์โดยสร้างแผนที่ในเดือน มกราคม – เดือนเมษายน 2558 เพื่อคาดการณ์พื้นที่เสี่ยงภัยแล้งรายสัปดาห์ที่จะเกิดขึ้นในช่วงเวลาดังกล่าว (รูปที่ 6)

จากการสร้างแผนที่คาดการณ์พื้นที่เสี่ยงภัยแล้งรายสัปดาห์ ผู้วิจัยได้เขียนโปรแกรมภาษา Python เพื่อใช้ในการจัดการข้อมูลและสร้างแผนที่คาดการณ์พื้นที่เสี่ยงภัยแล้งรายสัปดาห์แบบอัตโนมัติ โดยคำสั่งที่เขียนสามารถอ่านไฟล์ (File) ข้อมูล NDVI และ NDWI ราย 7 วัน ที่ผ่านประมวลผลและเก็บไว้ในแฟ้มข้อมูล (Folder) สำหรับใช้เป็นตัวแปรในสมการ เข้าสู่กระบวนการคำนวนข้อมูล raster (Raster Calculate) ที่ใส่สมการสำหรับสร้างแผนที่และบันทึกไฟล์ที่ได้เข้าสู่ไฟล์เดอร์ (File) ได้อย่างอัตโนมัติ จากนั้นนำไฟล์ที่ได้มาทำการจัดกลุ่ม แบ่งชั้น ตามค่าคะแนน แสดงระดับความเสี่ยงของภัยแล้งในแต่ละพื้นที่ และแสดงผลเป็นแผนที่คาดการณ์พื้นที่เสี่ยงภัยแล้งรายสัปดาห์ล่วงหน้า สำหรับพื้นที่ในประเทศไทย



รูปที่ 6 แผนที่คาดการณ์พื้นที่เสี่ยงภัยแล้งรายสัปดาห์

(a) เดือนมกราคม (b) เดือนกุมภาพันธ์ (c) เดือนมีนาคม และ (d) เดือนเมษายน

5. วิจารณ์ผลและสรุปผล

ข้อมูล NDWI ที่ได้จากการเก็บค่าด้วยการสูมจุด ในเดือนมกราคม – เดือนเมษายน ปี 2556-2557 ทั้ง 3 พื้นที่ตามลักษณะการใช้ประโยชน์ที่ดิน และหาดค่าเฉลี่ยเพื่อสร้างกราฟศึกษาแนวโน้มและเปรียบเทียบความแตกต่างนั้น ข้อมูลมีความสัมพันธ์กันและมีแนวโน้มทางเดียวกัน อาจมีบางช่วงเวลาที่คลาดเคลื่อนจากกันบ้าง ซึ่งเนื่องมาจากหลายสาเหตุ ตัวอย่างที่เห็นได้ชัดเจนคือ พื้นที่ป่าซึ่งเป็นพื้นที่ที่ไม่ใช้พรวนปลูกคุณตลอดทั้งปีจะมีความชื้นสูงกว่าพื้นที่อื่นๆ และพื้นที่ป่าลุกข้าว ในฤดูแล้งจะมีตอซึ้งช้าซึ่งส่งผลให้ค่า NDWI มีค่าที่ต่ำ เป็นต้น แต่มีลักษณะของกราฟ และแนวโน้มไปในทิศทางเดียวกัน ผู้วิจัยจึงใช้ข้อมูลในพื้นที่ป่า ซึ่งทำให้ได้ค่าข้อมูลที่แท้จริงของ NDVI และ NDWI ในพื้นที่ซึ่งข้อมูลทั้ง 2 มีความสัมพันธ์ไปในทางเดียวกัน ซึ่งสอดคล้องกับงานวิจัยของ Gu et al. (2007) ที่ได้ผลลัพธ์ที่แสดงถึงความสัมพันธ์ระหว่าง NDVI, NDWI และสภาพความแห้งแล้ง จึงใช้ข้อมูล NDVI และ NDWI ที่เก็บได้จากการสูมในพื้นที่ป่าเป็นตัวแทนของข้อมูลทั้งประเทศไทยในการคำนวณการลดอุณหภูมิแบบอนุกรมเวลา เพื่อใช้ในการสร้างแผนที่คาดการณ์พื้นที่เสี่ยงภัยแล้งล่วงหน้ารายสัปดาห์ ในประเทศไทยระหว่างเดือนมกราคม – เดือนเมษายน ซึ่งผลการสร้างสมการมีค่าสัมประสิทธิ์สัมพันธ์ (Correlation coefficient) ระหว่างค่าคาดการณ์และค่าจริง เท่ากับ 0.4837 แต่ไม่สามารถคาดการณ์พื้นที่เสี่ยงภัยแล้งในเดือนพฤษภาคม และในประเทศไทยเพื่อนบ้านที่ปราบภัยในแผนที่ได้ ทั้งนี้อาจเนื่องมาจากการไม่ได้มีการเก็บข้อมูลในช่วงเดือนดังกล่าวและข้อมูลของประเทศไทยเพื่อนบ้านเพื่อศึกษาแนวโน้มและสร้างสมการเพื่อใช้สร้างแผนที่คาดการณ์ ซึ่งการศึกษาในครั้งนี้ทำให้เห็นถึงความสำคัญของการเก็บข้อมูลในระยะเวลาข้าวย อย่างยิ่ง ซึ่งผลจากการศึกษานี้สามารถคาดการณ์พื้นที่เสี่ยงภัยแล้งรายสัปดาห์ในช่วงเดือนที่จะเกิดภัยแล้งของประเทศไทยได้ โดยสามารถคาดการณ์พื้นที่เสี่ยงภัยแล้งสัปดาห์ถัดไปได้จากข้อมูล NDVI สัปดาห์ปัจจุบัน และข้อมูล NDVI และ NDWI สัปดาห์ย้อนหลังได้อย่างอัตโนมัติโดยใช้ภาษา Python ในการจัดการและประมวลผลข้อมูล อย่างไรก็ตามการศึกษาวิจัยในครั้งนี้ยังไม่มีการทดสอบความถูกต้องของ การคาดการณ์พื้นที่เสี่ยงภัยแล้งกับข้อมูลความแห้งแล้งโดยใช้ข้อมูลปริมาณน้ำฝน หรือข้อมูลอุตุนิยมวิทยาในด้านอื่นๆ มีเพียงแต่การทดสอบค่าสัมประสิทธิ์สัมพันธ์ที่ได้จากการสร้างสมการทางคณิตศาสตร์เพื่อใช้ในการสร้างแผนที่คาดการณ์พื้นที่เสี่ยงภัยแล้งรายสัปดาห์

6. ข้อเสนอแนะ

สำหรับการศึกษาครั้งนี้ยังคงต้องการข้อมูลเพิ่มเติมอีกหลายตัวแปรที่ส่งผลต่อการเกิดภัยแล้ง และการทดสอบความถูกต้องของการคาดการณ์พื้นที่เสี่ยงภัยแล้งกับข้อมูลความแห้งแล้งโดยใช้ข้อมูลปริมาณน้ำฝน หรือข้อมูลอุตุนิยมวิทยาในด้านอื่นๆ สำหรับทดสอบความถูกต้อง เพื่อพัฒนาการวิเคราะห์ข้อมูล สร้างแบบจำลองทางคณิตศาสตร์ และแผนที่คาดการณ์พื้นที่เสี่ยงภัยแล้งที่มีประสิทธิภาพและน่าเชื่อถือต่อไป อีกทั้งยังสามารถพัฒนาและเผยแพร่โดยใช้บริการ Web Map Service (WMS) ซึ่งจะส่งผลให้บุคคลที่สนใจ หรือหน่วยงานที่เกี่ยวข้องสามารถเข้าถึงข้อมูลที่คาดการณ์ได้รวดเร็วขึ้น

กิตติกรรมประกาศ

การศึกษาในครั้งนี้ คณะผู้วิจัยขอขอบคุณ สำนักงานพัฒนาเทคโนโลยีอวกาศและภูมิสารสนเทศ (องค์กรมหาชน) ที่ให้ความอนุเคราะห์ในการให้ข้อมูล NDWI และ NDVI จากดาวเทียม Terra/Aqua ระบบ MODIS และข้อมูล Shape File การใช้ประโยชน์ที่ดิน อีกทั้งทรัพยากรต่างๆ ใน การศึกษา ขอบคุณหลักสูตรเทคโนโลยีสารสนเทศ คณวิทยาศาสตร์และเทคโนโลยี จุฬาลงกรณ์มหาวิทยาลัย สำนักวิชาคณิตศาสตร์ และแผนที่คาดการณ์พื้นที่เสี่ยงภัยแล้งที่มีประสิทธิภาพและน่าเชื่อถือต่อไป อีกทั้งยังสามารถพัฒนาและเผยแพร่โดยใช้บริการ Web Map Service (WMS) ซึ่งจะส่งผลให้บุคคลที่สนใจ หรือหน่วยงานที่เกี่ยวข้องสามารถเข้าถึงข้อมูลที่คาดการณ์ได้รวดเร็วขึ้น

เอกสารอ้างอิง

- กอร์. (2549). โลกร้อนความจริงที่ไม่มีใครยกฟัง. แปลจาก AN INCONVENIENT TRUTH. โดย คุณกร วาณิชวิรุฬห์. กรุงเทพมหานคร: สำนักพิมพ์มติชน.
- สิตาเวีร์ ชีวิรุฬห์. (2558). การแก้ไขปัญหาภัยแล้งอย่างยั่งยืน. บทความวิชาการสำนักงานเลขานุการสภากฎหมายราชบูรณะ, 2-3.
- ธุรพันธ์ สนติยานนท์. (2548). การวิเคราะห์และเตือนภัยแล้งโดยใช้ระบบสารสนเทศภูมิศาสตร์. วิทยานิพนธ์วิศวกรรมศาสตร์ มหาบัณฑิต คณะวิศวกรรมศาสตร์ มหาวิทยาลัยธรรมศาสตร์. บัณฑิตวิทยาลัย.
- Chen, D., Huang, J. and Jackson, T.J. (2005). Vegetation water content estimation for corn and soybeans using spectral indices derived from MODIS near – and short wave infrared bands [Electronic version]. Remote Sensing of Environment, 98, 225-236.
- Gao, B-C. (1996). NDWI - A normalized difference water index for remote sensing of vegetation liquid water from space [Electronic version]. Remote Sensing of Environment, 58, 257-266.

- Gu, Y., Brown, J.F., Verdin, J.P. and Wardlow, B. (2007). A five-year analysis of MODIS NDVI and NDWI for grassland drought assessment over the central Great Plains of the United States [Electronic version]. *Geophysical Research Letters*, 34, L06407.
- Huete, A.R., Didan, K., Miura, T., Rodriguez, E.P., Gao, X. and Ferreira, L.G. (2002). Overview of the radiometric and biophysical performance of the MODIS vegetation indices [Electronic version]. *Remote Sensing of Environment*, 83, 195-213.
- Kogan, F.N. (1995). Droughts of the late 1980s in the United States as derived from NOAA polarorbiting satellite data [Electronic version]. *Bulletin of the American Meteorological Society*, 76(5), 655-668.
- Shakya N. and Yamaguchi Y. (2007). Drought monitoring using vegetation and LST indices in Nepal and Northeastern India. ACRS 2007 Proceedings, (Paper No.285) 12-16 November 2007 Kuala Lumpur, Malaysia.
- Volcani, A., Karniel, A. and Svoray, T. (2005). The use of remote sensing and GIS for spatio-temporal analysis of the physiological state of a semiarid forest with respect to drought years [Electronic version]. *Forest Ecology and Management*, 215, 239-250.